

CR-P0 方法求解二维 Stokes 方程

谢文进

2021 年 9 月 29 日

1 理论推导

1.1 问题描述

对于 Stokes 问题

$$\begin{cases} -\nu \Delta \mathbf{u} + \nabla p = f, & \text{in } \Omega \\ \nabla \cdot \mathbf{u} = 0 = h, & \text{in } \Omega \\ \mathbf{u} = g = 0, & \text{on } \partial\Omega \end{cases} \quad (1)$$

其中, 取 $\nu = 1$ 。这里函数 $h(\mathbf{x}, t)$ 为预留函数接口, 方便后续处理随机项。

方程 1 的弱形式为: 找到 $(\mathbf{u}, p) \in \mathbf{H}_0^1(\Omega) \times L_0^2(\Omega)$ 使得

$$\begin{cases} a(\mathbf{u}, \mathbf{v}) + b(\mathbf{v}, p) = (f, \mathbf{v}) \quad \forall \mathbf{v} \in \mathbf{H}_0^1(\Omega), \\ b(\mathbf{u}, q) = 0 = (h, q) \quad \forall q \in L_0^2(\Omega), \end{cases} \quad (2)$$

其中

$$a(\mathbf{u}, \mathbf{v}) = \nu(\nabla \mathbf{u}, \nabla \mathbf{v}), \quad b(\mathbf{v}, p) = -(\operatorname{div} \mathbf{v}, p)$$

对于二维情况, 即找到 $u_1 \in H_0^1(\Omega), u_2 \in H_0^1(\Omega)$, 以及 $p \in L_0^2(\Omega)$ 使得对 $\forall v_1 \in H_0^1(\Omega), \forall v_2 \in H_0^1(\Omega), \forall q \in L_0^2(\Omega)$ 有下式^[1]成立:

$$\begin{aligned} & \int_{\Omega} \nu \left(2 \frac{\partial u_1}{\partial x} \frac{\partial v_1}{\partial x} + 2 \frac{\partial u_1}{\partial x} \frac{\partial v_1}{\partial x} + \frac{\partial u_1}{\partial x} \frac{\partial v_1}{\partial x} + \frac{\partial u_1}{\partial x} \frac{\partial v_1}{\partial x} + \frac{\partial u_1}{\partial x} \frac{\partial v_1}{\partial x} + \right. \\ & \left. \frac{\partial u_1}{\partial x} \frac{\partial v_1}{\partial x} \right) dx dy - \int_{\Omega} \left(p \frac{\partial v_1}{\partial x} + p \frac{\partial v_2}{\partial y} \right) dx dy = \int_{\Omega} (f_1 v_1 + f_2 v_2) dx dy, \\ & - \int_{\Omega} \left(q \frac{\partial u_1}{\partial x} + q \frac{\partial u_2}{\partial y} \right) dx dy = 0 = \int_{\Omega} h q dx dy. \end{aligned}$$

1.2 Crouzeix-Raviart 三角形元^[2]

为方便计算, 采用面积坐标 $\lambda_i(\mathbf{x})$, $i = 1, 2, 3$, $\lambda_i = \frac{S_i}{S}$ 。Crouzeix-Raviart 三角形元选取的是三边中点, 如图 1, 可以得到基函数为

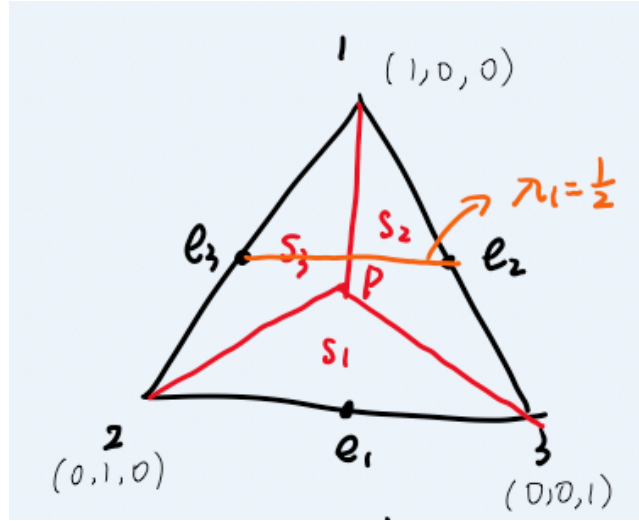


图 1: Crouzeix-Raviart 三角形元

$$\varphi_1 = -2\left(\lambda_1 - \frac{1}{2}\right), \quad (3)$$

$$\varphi_2 = -2\left(\lambda_2 - \frac{1}{2}\right), \quad (4)$$

$$\varphi_3 = -2\left(\lambda_3 - \frac{1}{2}\right). \quad (5)$$

对上述基函数求梯度得:

$$\frac{\partial \varphi_i}{\partial \lambda_j} = \begin{cases} -2, & i = j, \\ 0, & i \neq j. \end{cases} \quad (6)$$

1.3 记号说明

在推导离散格式之前, 一些记号及编程数据结构说明^[3] 如下:

- elem2dof: 在边上点的全局坐标
- edge: 边

- NE: 边的个数
- NT: 单元个数
- Nu: 速度 u 的个数
- Np: 压力 p 的个数
- N: 顶点的个数

1.4 有限元离散

为了能够由数值实验进行计算, 需要考虑有限元空间 $\mathbf{U}_0^h \subset \mathbf{H}_0^1(\Omega)$ 及 $W_0^h \subset L_0^2(\Omega)$, 即找到 $\mathbf{u}_h \in \mathbf{U}_0^h$ 及 $p_h \in W_0^h$, 使得对 $\forall \mathbf{v}_h \in \mathbf{U}_0^h$ 及 $q_h \in W_0^h$ 有

$$\begin{aligned} a(\mathbf{u}_h, \mathbf{v}_h) + b(\mathbf{v}_h, p_h) &= (f, \mathbf{v}_h), \\ b(\mathbf{u}_h, q_h) &= 0 = (h, q_h). \end{aligned}$$

这里选取 $U_h = \text{span}\{\phi_j\}_{j=1}^{N_u}$, $W_h = \text{span}\{\psi_j\}_{j=1}^{N_p}$, N_u 表示 \mathbf{u}_h 离散节点个数, N_p 表示 p_h 离散节点个数。 ϕ_j 由 Crouzeix-Raviart 三角形元基函数确定, ψ_j 为 P_0 多项式。

参考 Chen [4], 下面推导刚度矩阵及载荷向量:

$$\begin{aligned} a(\mathbf{u}_h, \mathbf{v}_h) &= a\left(\sum_i \mathbf{u}_i \phi_i, \sum_j \mathbf{v}_j \phi_j\right) = \sum_{i,j} a(\phi_i, \phi_j) \mathbf{u}_i \mathbf{v}_j = \mathbf{v}^T \mathbf{A} \mathbf{u}, \\ b(\mathbf{v}_h, p_h) &= b\left(\sum_j \mathbf{v}_j \phi_j, \sum_i p_i \psi_i\right) = \sum_{i,j} b(\phi_j, \psi_i) \mathbf{v}_j p_i \\ &= \left[\sum_{i,j} b(\phi_i, \psi_j) \mathbf{v}_i p_j\right]^T = [\mathbf{p}^T \mathbf{B} \mathbf{v}]^T = \mathbf{v}^T \mathbf{B}^T \mathbf{p}, \\ (f, \mathbf{v}_h) &= \left(\sum_i f_i, \sum_j \mathbf{v}_j \phi_j\right) = \sum_{i,j} (f_i, \phi_j) \mathbf{v}_j = \mathbf{v}^T \mathbf{f}, \\ b(\mathbf{u}_h, q_h) &= b\left(\sum_i \mathbf{u}_i \phi_i, \sum_j q_j \psi_j\right) = \sum_{i,j} b(\phi_i, \psi_j) \mathbf{u}_i q_j = \mathbf{q}^T \mathbf{B} \mathbf{u}, \\ (h, q_h) &= \left(\sum_i h_i, \sum_j q_j \psi_j\right) = \sum_{i,j} (h_i, \psi_j) q_j = \mathbf{q}^T \mathbf{h}. \end{aligned}$$

写成矩阵形式, 即为:

$$\begin{pmatrix} \mathbf{v}^T & \mathbf{q}^T \end{pmatrix} \begin{pmatrix} \mathbf{A} & \mathbf{B}^T \\ \mathbf{B} & \mathbf{O} \end{pmatrix} \begin{pmatrix} \mathbf{u} \\ \mathbf{p} \end{pmatrix} = \begin{pmatrix} \mathbf{v}^T & \mathbf{q}^T \end{pmatrix} \begin{pmatrix} \mathbf{f} \\ \mathbf{h} \end{pmatrix},$$

则数值计算要求解的线性系统为

$$\begin{pmatrix} \mathbf{A} & \mathbf{B}^T \\ \mathbf{B} & \mathbf{O} \end{pmatrix} \begin{pmatrix} \mathbf{u} \\ \mathbf{p} \end{pmatrix} = \begin{pmatrix} \mathbf{f} \\ \mathbf{h} \end{pmatrix}. \quad (7)$$

1.5 Dirichlet 边界处理

找到 Dirichlet 边界点，使得在这些点满足

$$\mathbf{u}_i = g_i = 0,$$

对于 Dirichlet 边界条件 $g(\mathbf{x}, t)$ ，在程序中需要修正矩阵 \mathbf{A}, \mathbf{B} 及右端项 \mathbf{f}, \mathbf{h} 。

2 数值实现

2.1 数值实例

取 $\Omega = [0, 1] \times [0, 1]$ ，Stokes 方程如下：

$$\begin{cases} -\Delta \mathbf{u} + \nabla p = \mathbf{f}, & \text{in } \Omega \\ \nabla \cdot \mathbf{u} = 0 = h, & \text{in } \Omega \\ \mathbf{u} = 0, & \text{on } \partial\Omega \end{cases} \quad (8)$$

其中

$$\begin{aligned} f_1 &= 2^{10}[(1 - 6x + 6x^2)(y - 3y^2 + 2y^3) + (x^2 - 2x^3 + x^4)(-3 + 6y) \\ &\quad - (-3 + 6x)(y^2 - 2y^3 + y^4)], \\ f_2 &= -2^{10}[(-3 + 6x)(y^2 - 2y^3 + y^4) + (x - 3x^2 + 2x^3)(1 - 6y + 6y^2) \\ &\quad + (1 - 6x + 6x^2)(y - 3y^2 + 2y^3)]. \end{aligned}$$

方程 8 的精确解为：

$$\begin{aligned} u_1 &= -2^8(x^2 - 2x^3 + x^4)(2y - 6y^2 + 4y^3), \\ u_2 &= 2^8(2x - 6x^2 + 4x^3)(y^2 - 2y^3 + y^4), \\ p &= -2^8(2 - 12x + 12x^2)(y^2 - 2y^3 + y^4). \end{aligned}$$

2.2 重心坐标

计算重心坐标的梯度^[3]

$$\nabla \lambda_i = \frac{1}{2!|\tau|} \mathbf{n}_i \quad (9)$$

其中 $|\tau|$ 为三角形面积，在程序中 $\nabla \lambda_i$ 为 `Dlambda`。

下面推导计算三角形面积 $|\tau|$ ，程序中变量名为 `area`，记 $\mathbf{l}_i = \mathbf{x}_{i+1} - \mathbf{x}_{i-1}$ ，而 $\mathbf{n}_i = \mathbf{l}_i^\perp$ ，其中对于一个向量 $\mathbf{v} = (x, y)$ ， $\mathbf{v}^\perp = (-y, x)$ 。对于三角形 T ，如图 2，记 $A_i = (x_i, y_i), i = 1, 2, 3$ 。

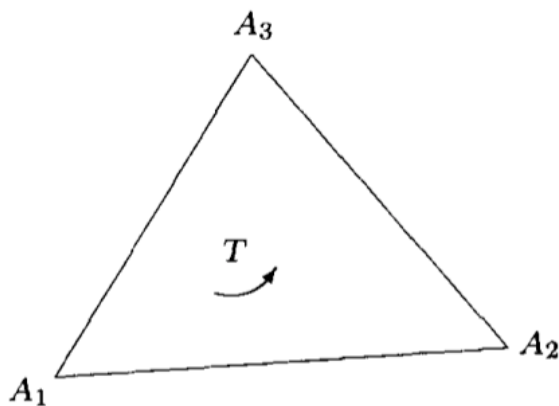


图 2: 三角形

该三角形面积为

$$|\tau| = \frac{1}{2} \begin{vmatrix} x_1 & y_1 & 1 \\ x_2 & y_2 & 1 \\ x_3 & y_3 & 1 \end{vmatrix}$$

而

$$l_1 = \begin{pmatrix} x_2 - x_3 \\ y_2 - y_3 \end{pmatrix}, l_2 = \begin{pmatrix} x_3 - x_1 \\ y_3 - y_1 \end{pmatrix}, l_3 = \begin{pmatrix} x_1 - x_2 \\ y_1 - y_2 \end{pmatrix},$$

经计算得到

$$\begin{aligned}
 -l_{31}l_{22} + l_{32}l_{21} &= -(x_1 - x_2)(y_3 - y_1) + (y_1 - y_2)(x_3 - x_1) \\
 &= -(x_1y_3 - x_1y_1 - x_2y_3 + x_2y_1) + (x_3y_1 - x_1y_1 - x_3y_2 + x_1y_2) \\
 &= (x_2y_3 - x_3y_2) - (x_1y_3 - x_3y_1) + (x_1y_2 - x_2y_1) \\
 &= \begin{vmatrix} x_1 & y_1 & 1 \\ x_2 & y_2 & 1 \\ x_3 & y_3 & 1 \end{vmatrix},
 \end{aligned}$$

因此

$$|\tau| = \frac{1}{2}(-l_{31}l_{22} + l_{32}l_{21})$$

关于该部分的计算代码见gradbasis.m^[5]。

2.3 Laplace 算子

下面推导如何生成矩阵 \mathbf{A} ，由前述理论推导知

$$\begin{aligned}
 \mathbf{A}_{ij} &= a(\phi_i, \phi_j) = (\nabla \phi_i, \nabla \phi_j) = \iint \nabla \phi_i \cdot \nabla \phi_j dx dy \\
 &= \iint -2\nabla \lambda_i \cdot (-2\nabla \lambda_j) dx dy = 4|\tau| \nabla \lambda_i \cdot \nabla \lambda_j
 \end{aligned}$$

核心代码：

```

1  A = sparse(Nu,Nu);
2  for i = 1:3
3      for j = i:3
4          % 局部节点到全局节点
5          ii = double(elem2dof(:,i));
6          jj = double(elem2dof(:,j));
7          % 局部刚度矩阵
8          Aij = 4*dot(Dlambd(:,i),Dlambd(:,j),2).*area;
9          if (j==i)
10             A = A + sparse(ii,jj,Aij,Nu,Nu);
11         else
12             A = A + sparse([ii,jj],[jj,ii],[Aij,Aij],Nu,Nu);
13         end
14     end
15 end
16 clear Aij
17 A = blkdiag(A,A);

```

2.4 散度算子

下面推导如何生成矩阵 \mathbf{B} ，由前述理论推导知

$$\begin{aligned}\mathbf{B}_{ij} &= b(\phi_i, \psi_j) = -(div \phi_i, \psi_j) = - \iint div \phi_i \cdot \psi_j dx dy \\ &= - \iint -2 div \lambda_i \cdot \psi_j dx dy = -(-2|\tau| div \lambda_i \cdot \psi_j)\end{aligned}$$

这里 ψ_j 是 $P0$ 元，可以在三角形元中选择一个常数，即置 $\psi_j = C = 1$ 。

核心代码：

```
1 d1 = -2.*Dlambd(:, :, 1) .* [area, area];
2 d2 = -2.*Dlambd(:, :, 2) .* [area, area];
3 d3 = -2.*Dlambd(:, :, 3) .* [area, area];
4 Dx = sparse(repmat((1:Np)', 3, 1), double(elem2dof(:)), ...
5             [d1(:, 1); d2(:, 1); d3(:, 1)], Np, Nu);
6 Dy = sparse(repmat((1:Np)', 3, 1), double(elem2dof(:)), ...
7             [d1(:, 2); d2(:, 2); d3(:, 2)], Np, Nu);
8 B = -[Dx Dy];
```

2.5 右端项

先处理右端项 \mathbf{f} ，由前述理论推导知

$$\mathbf{f}_{ij} = (f_i, \phi_j) = \iint f_i \cdot \phi_j dx dy = |\tau| f_i \cdot \phi_j.$$

核心代码：

```
1 mid1 = (node(elem(:,2),:) + node(elem(:,3),:))/2; % A2A3边的中点
2 mid2 = (node(elem(:,3),:) + node(elem(:,1),:))/2;
3 mid3 = (node(elem(:,1),:) + node(elem(:,2),:))/2;
4 ft1 = repmat(area, 1, 2) .* pde.f(mid1)/3; % 要除以3
5 ft2 = repmat(area, 1, 2) .* pde.f(mid2)/3;
6 ft3 = repmat(area, 1, 2) .* pde.f(mid3)/3;
7 f1 = accumarray(elem2dof(:), [ft1(:,1); ft2(:,1); ft3(:,1)] , [Nu 1]);
8 f2 = accumarray(elem2dof(:), [ft1(:,2); ft2(:,2); ft3(:,2)] , [Nu 1]);
```

下面处理右端项 \mathbf{h} ，其处理方式与 \mathbf{f} 类似，即

$$\mathbf{h}_{ij} = (h_i, \psi_j) = \iint h_i \cdot \psi_j dx dy = |\tau| h_i \cdot \psi_j.$$

核心代码:

```
1 ht1 = repmat(area, 1, 2) .* pde.h(mid1)/3;
2 ht2 = repmat(area, 1, 2) .* pde.h(mid1)/3;
3 ht3 = repmat(area, 1, 2) .* pde.h(mid1)/3;
4 h = accumarray(repmat((1:Np)',3,1), [ht1(:,1); ht2(:,1); ht3(:,1)], ...
5     [Np 1]);
```

2.6 Dirichlet 边界

第一步先找到 Dirichlet 边界点，程序中变量名为fixedDof。

```
1 ufreeDof = (1:Nu)';
2 pDof = (1:Np)';
3
4 fixedDof = find(isFixedDof); % Dirichlet 边界点
5 ufreeDof = find(~isFixedDof); % 非Dirichlet 边界点
```

第二步修改矩阵 A 及 B 。

```
1 % AD(fixedDof,fixedDof)=I, AD(fixedDof,ufreeDof)=0, ...
   AD(ufreeDof,fixedDof)=0.
2 % BD(:,fixedDof) = 0 and thus BD'(fixedDof,:) = 0.
3 bddix = zeros(2*Nu,1);
4 bddix(fixedDof) = 1;
5 bddix(Nu+fixedDof) = 1;
6
7 % 系统函数 spdiags
8 %A = SPDIAGS(B,d,m,n) creates an m-by-n sparse matrix from the
9 %   columns of B and places them along the diagonals specified by d.
10
11 Tbd = spdiags(bddix,0,2*Nu,2*Nu); % AD(fixedDof,fixedDof)=I
12 % 1 - bddix = 0, AD(fixedDof,ufreeDof)=0, AD(ufreeDof,fixedDof)=0
13 T = spdiags(1-bddix,0,2*Nu,2*Nu);
14 AD = T*A*T + Tbd;
15 BD = B*T; % BD(:,fixedDof) = 0
```

第三步，更新右端项。

```
1 u1 = zeros(Nu,1);
```



```

2  u2 = zeros(Nu,1);
3  bdEdgeMid = (node(edge(fixedDof,1),:)+node(edge(fixedDof,2),:))/2;
4  uD = pde.g_D(bdEdgeMid); % bd values at middle points of edges
5  u1(fixedDof) = uD(:,1);
6  u2(fixedDof) = uD(:,2);
7  u = [u1; u2]; % Dirichlet bd condition is built into u
8
9  % 处理边界条件 g_D(u,t) 中 u 涉及到非边界点的情况
10 f = f - A*u; % bring affect of nonhomogenous Dirichlet bd condition to
11
12 % 处理右端项 h
13 g = h - B*u;
14 % 无右端项 h 的情况
15 % g = g - B*u; % the right hand side
16
17 % mean(g): 所有元素的均值, 系统函数
18 g = g - mean(g); % impose the compatible condition
19
20 f(fixedDof) = u1(fixedDof);
21 f(fixedDof+Nu) = u2(fixedDof);
22 u = [u1; u2]; % Dirichlet bd condition is built into u

```

2.7 数值实验结果

数值实验结果如图 3 所示

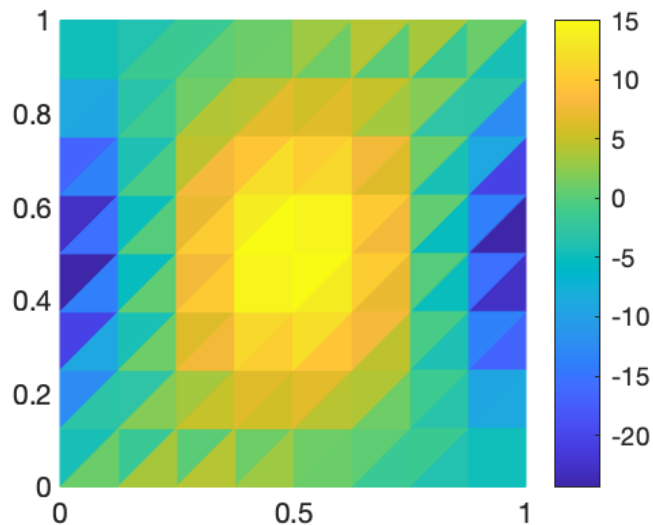


图 3: 数值结果

收敛情况如图 4，可以看到基本 \mathbf{u} 和 p 都可以达到一阶收敛。

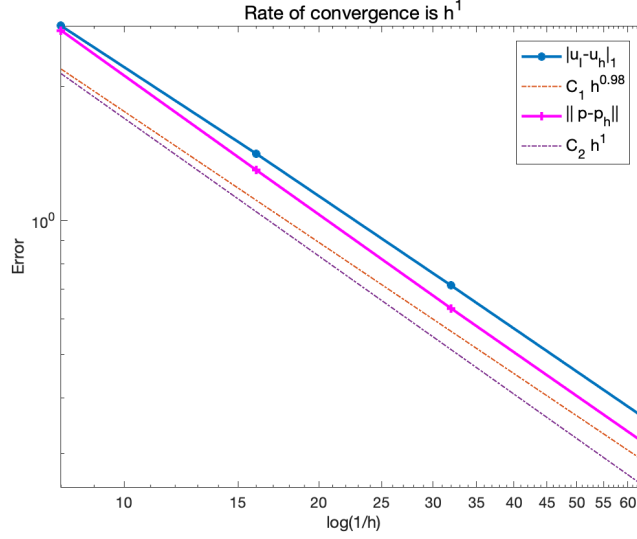


图 4: 收敛阶

2.8 程序清单

- StokesCRP0.mxl

实时脚本，带入实例计算，求解 Stokes 方程，观察数值结果及收敛阶情况。

- JinJinStokesCRP0.m

用 CRP0 元求解 Stokes 方程，对 iFEM^[5] 包中StokesCRP0.m做了部分修改，加入随机项接口 h 。

- MyStokesData2.m

二维 Stokes 方程实例方程，存储右端项函数 f 、 h ，Dirichlet 边界函数 g_D ，精确解 $exactu$, $exactp$ 。该程序对 iFEM^[5] 包中StokesData2.m做部分修改，加入随机函数接口 h 。

- gradbasis.m

返回重心坐标的梯度 $D\lambda$ ，三角形元面积 $area$ 。

3 Questions

1. JinJinStokesCRP0.m 105 行, 对 p 的处理。

```
1 %% Post-process ???  
2 if length(pDof) ≠ Np % p is unique up to a constant  
3     % impose the condition int(p)=0  
4     c = sum(p.*area)/sum(area);  
5     p = p - c;  
6 end
```

2. JinJinStokesCRP0.m 246 行, 对于只有 Dirichlet 边界的情况, 对 pDof 的处理。

```
1 % modify pressure dof for pure Dirichlet  
2 if isempty(Neumann)  
3     pDof = (1:Np-1)'; % ??  
4 end
```

参考文献

- [1] HE X. Introduction and Basic Implementation for Finite Element Methods[EB/OL]. https://www.bilibili.com/video/BV1Zv411t7Lj?spm_id_from=333.999.0.0.
- [2] 王烈衡, 许学军. 有限元方法的数学基础[M]. 北京: 科学出版社, 2007.
- [3] CHEN L. Programming Of Finite Element Methods in MATLAB[EB/OL]. <https://www.math.uci.edu/~chenlong/226/Ch3FEMCode.pdf>.
- [4] CHEN L. Introduction Of Finite Element Methods[EB/OL]. <https://www.math.uci.edu/~chenlong/226/Ch2FEM.pdf>.
- [5] CHEN L. IFEM 软件包[EB/OL]. <https://github.com/lyc102/ifem>.